

徳島大学工業短期大学部 正員 村上 仁士  
同 工 正員 細井 由彦

1. まえがき 近年、直立式の透過程性防波堤が各所で設置されるようになり、かなり複雑な構造の堤についても反射率および透過率の算定下ある程度可能となっている。しかしながら、これらの海水交流特性について必ずしも多くの検討がなされていないようである。ここでは、薄い単一板模型スリットにおける海水交流特性について主として考察する。

2. 実験方法 長さ14.4m、幅0.2m、深さ0.3mの1次元造波水槽の造波板から10.2mの位置に図-1に示すような厚さ1mmの模型スリット壁を設置し、一定水深( $H=15cm$ )のときで一連の実験を行った。この透過程堤の空隙率 $\mu$ は0.0625, 0.125および0.25の3通りである。波高の測定はビデオおよび容量式波高計によつた。一方、透過程堤の海水交流を調べるために、スリット部の流速をホットフィルム流速計で測定した。また、湾内にメテレンブルー溶液を一様濃度で設定し、波動に伴う湾内の濃度変化を濃度計で測定した。濃度計の設定位置は堤直後と堤より $1/4$ 波長離れた湾内の地底である。

3. エネルギー損失特性 図-2は、透過率 $\gamma_T$ および反射率 $\gamma_R$ の特性を示し、図中には $\mu$ が本実験と等しい円孔の場合の服部(1971)の実験値、また林・服部(1968)の円筒パイアル列の値を参考のために記している。図中の曲線は林・服部(1968)の理論より計算した値で流量係数 $C$ の値で $\mu$ が大きくなる順にそれぞれ、0.7, 0.541および0.475である。 $\mu=0.125$ の場合、スリット型と円孔との違い大きく異なるが、他の場合は大差なく、円孔の場合がわずかに小さい。図-3は、堤における波のエネルギー透散率 $\epsilon$ (=1- $\gamma_T^2-\gamma_R^2$ )を示し、本実験の範囲内では $\mu=0.125$ の場合が極大値をとり、計算値から、波形勾配 $H/L$ によりその極値となる $\mu$ の値が変わることを示唆していることは興味深い。

4. 海水交流特性 湾内を一様濃度 $C_0$ に保ち、スリット部からメテレンブルー溶液が外海へ流出しないようにして、波が堤に到着後仕切り板を取り除くと湾内水と外海水との交流が始まり、湾内の濃度は低減し始める。図-4は、堤直後( $H/L=0$ )での濃度減衰記録から波動に伴う周期的な変動を除去した濃度減衰曲線である。図から、 $\mu=0.0625$ の場合が最も濃度減衰が大きいようにみえる。波形勾配 $H/L$ がこれより大きい値についてもこれに似た。

堤から $1/4$ 波長離れた地点( $H/L=1/4$ )では、外海から数波湾内に侵入後、濃度の減衰が始まる。図-5は、堤に波が到達後、この地点での濃度減衰が始まる時間 $t$ を周期Tで無次元化して示しているが、 $\mu=0.125$ の場合が外海

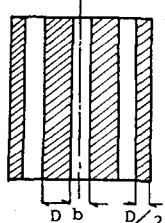


図-1 スリット壁

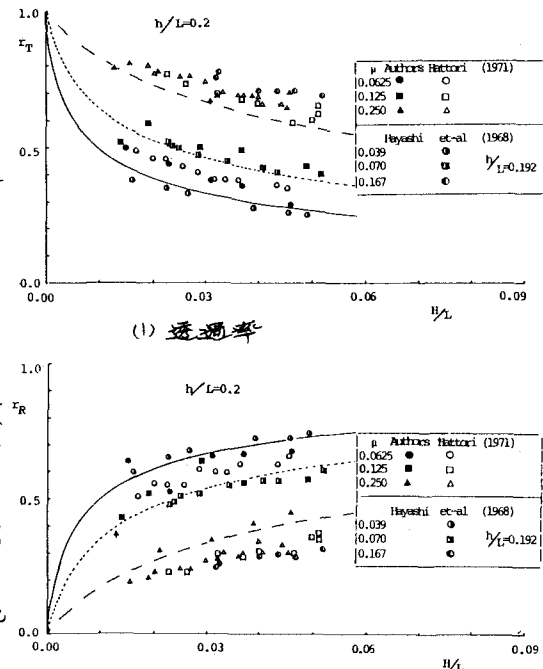


図-2 透過・反射特性

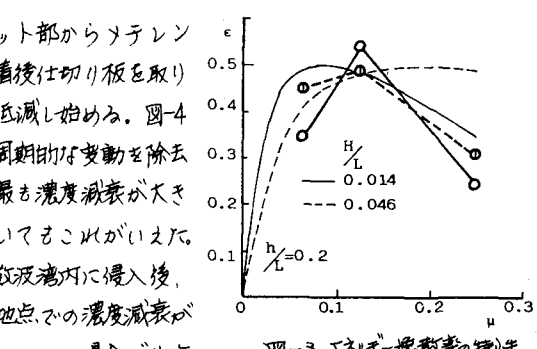


図-3 エネルギー透散率の特性

水との接触をうけ始める時間が最も早いようである。さらに、その後の濃度減衰の様子を示すと図-4のようになる。堤直後では濃度記録に周期的変動が観測されていて、ここではそうした周期的な変動の小さい、 $\mu=0.0625$ の場合が最も減衰が遅い。このことは、どの特性から説明できる。すなまち、 $\mu=0.125$ の場合がスリット部で生ずる渦や乱れによる波のエネルギー逸散が大きく、したがって乱流拡散が最も卓越したものと考えられる。

図-4 ノルム濃度減衰特性 ( $\chi_L=0$ )

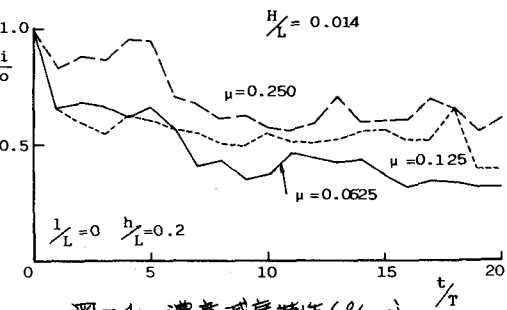


図-4 ノルム濃度減衰特性 ( $\chi_L=0$ )

図-4ノルム、スリット部での交流量の特性を示したもの

で、 $q_{max}$ とは単位幅当たりの交

流量、 $H_L$ は入射波高である。

図中の実線は、前述の林・藤

部の理論による計算値である。

図から、 $\mu$ の増大に伴い交流

量を増大することが知れるが

交流量の増大が必ずしも港内

の濃度を低減させることにな

らないことがこのことから

わかる。したがって、交流量のうち、どの程度外海水と港内水とが交換さ

れるかが重大な問題となる。

そこで、Parker-Norris-Nelson(1972)によれば、海水交換率 $\bar{r}$ から港内の濃度特性を考察することとした。彼らの定義する海水交換率とは、港内流入量のうち外海水が占める割合で結局次式となる。

$$\bar{r} = (\bar{C}_F - \bar{C}_E) / (C_S - \bar{C}_E)$$

入射の平均濃度、 $\bar{C}_E$ は港外への流

出時の平均濃度、 $C_S$ は外海の初期

濃度である。図-5は、堤直後の

濃度減衰記録(図-4のとおりある

実験)から一波ごとの海水交換率

$\bar{r}$ を算出し、20波について平均値

を求めて示したものである。 $H_L$

= 0.046 の場合  $\mu$  が大きくなれば

$\bar{r}_{mean}$  が小さくなる。ているが、 $H_L$

= 0.014 の場合  $\mu=0.125$  で極値をもち、前述した濃度減衰特性と符合する。本実験の範囲内では、25~45% の海水交換率となっている。

5. あとがき 以上考察の結果、港内の水質浄化には、海水交流量そのものよりもむしろスリット部でのエネルギー逸散をせしめる乱流拡散が重要であることがわかった。また港内の濃度変化の特性を海水交換率で表現した結果、乱れ特性と対応する特徴が得られた。最後に本研究は文部省科学研究費(自然災害特別研究 代表者 屋島勝(徳島大学助教授))による研究の一部であることを付記して謝意を表す。

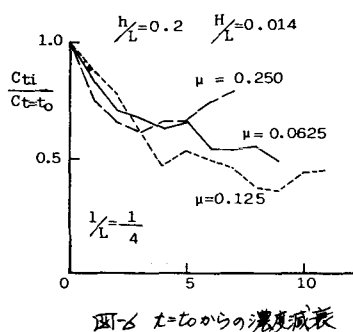


図-5  $t=t_0$ からの濃度減衰

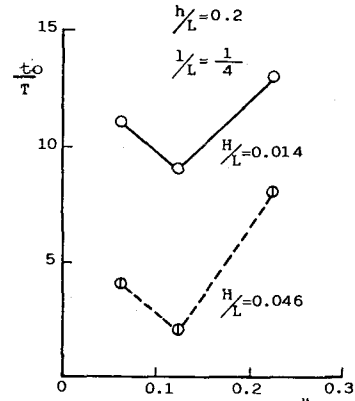


図-6  $\frac{t_0}{T}$  と  $\mu$  の関係

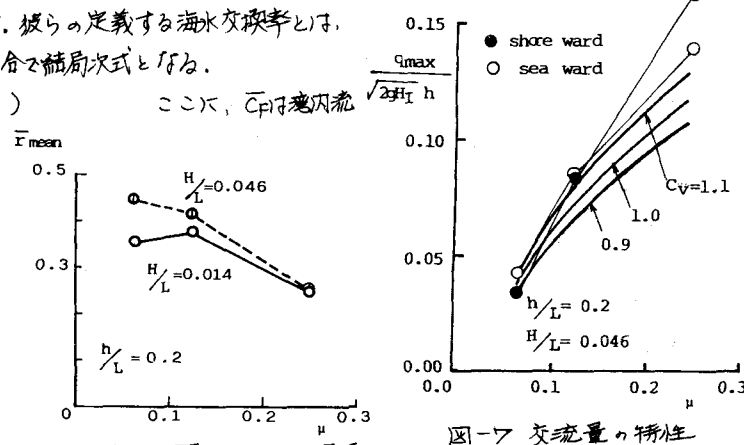


図-7  $\bar{r}_{mean}$  と  $\mu$  の関係

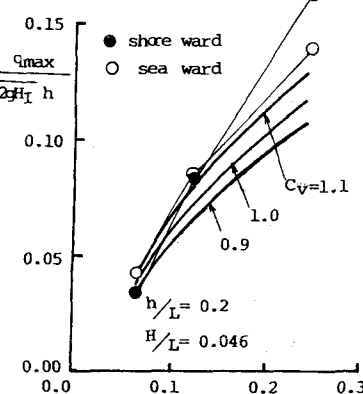


図-8 交流量の特性